

『自動制御の安定理論より見たる  
サージタンクの安定』の研究の補足説明

九州電力 土木部 村瀬次男

1. まえがき

本論は、昭和37年より始めた是記の一連の研究の補足を目的としている。これによつて、著者の研究はより完全なものになつたと信ずる。

2. 水理系の伝達係数の完全形

水圧管について、損失ばかりではなく水の慣性をも考慮する。水理系の基本式は次の通りである。(図-1)

$$\left. \begin{aligned} (l/g) \cdot (dv/dt) &= H_1 - H_F + \alpha v^2 \quad (v \geq 0) \\ (l/g) \cdot (dv_p/dt) &= H - H_F + \alpha_p v_p^2 \quad (v_p \geq 0) \\ \alpha v - g_F &= A \cdot (dH/dt) \\ g_F &= \alpha_p v_p = m \phi \sqrt{H_p} \\ C &= g_F H_p \end{aligned} \right\} \quad (1)$$

従つて、求める水理系の伝達係数は

$$\begin{aligned} \frac{d[\Delta H_p/H_o]}{d[\Delta \theta/\theta_o]} &= - \left\{ \frac{Al}{ga} \frac{\alpha_p v_{po}}{g H_{po}} S^3 + \left( \frac{Al}{ga} \frac{z \alpha_p v_{po}^2}{H_{po}} \right. \right. \\ &\left. \left. + \frac{z \alpha v_o A}{a} \frac{l_p v_{po}}{g H_{po}} \right) S^2 + \left( \frac{l v_o}{g H_o} + \frac{l_p v_{po}}{g H_{po}} + \frac{z \alpha v_o A}{a} \frac{z \alpha_p v_{po}^2}{H_{po}} \right) S + \frac{z \alpha v_o^2}{H_o} + \frac{z \alpha_p v_{po}^2}{H_{po}} \right\} \end{aligned}$$

$$/ \left( \frac{Al}{ga} S^2 + \frac{z \alpha v_o A}{a} S + 1 \right) \quad (2)$$

$$\frac{d[\frac{\Delta C}{C_o}]}{d[\frac{\Delta \theta}{\theta_o}]} = - \frac{Al}{ga} \frac{\alpha_p v_{po}}{g H_{po}} S^3 + \left\{ \frac{Al}{ga} \left( 1 - \frac{z \alpha_p v_{po}^2}{H_{po}} \right) - \frac{z \alpha v_o A}{a} \frac{\alpha_p v_{po}}{g H_{po}} \right\} S^2 - \left\{ \frac{l v_o}{g H_o} + \frac{l_p v_{po}}{g H_{po}} \right\}$$

$$\begin{aligned} \frac{d[\frac{\Delta \phi}{\phi_o}]}{d[\frac{\Delta \theta}{\theta_o}]} &= \frac{Al}{ga} \frac{\alpha_p v_{po}}{g H_{po}} S^3 + i \frac{Al}{ga} \left( 1 + \frac{z \alpha_p v_{po}^2}{H_{po}} \right) + \frac{z \alpha v_o A}{a} \frac{\alpha_p v_{po}}{g H_{po}} S^2 + \left\{ \frac{l v_o}{g H_o} + \frac{l_p v_{po}}{g H_{po}} \right. \\ &\left. - \frac{z \alpha v_o A}{a} \left( 1 - \frac{z \alpha_p v_{po}^2}{H_{po}} \right) \right\} S + 1 - \frac{z \alpha v_o^2}{H_o} - \frac{z \alpha_p v_{po}^2}{H_{po}} \\ &+ \frac{z \alpha v_o A}{a} \left( 1 + \frac{z \alpha_p v_{po}^2}{H_{po}} \right) S + 1 + \frac{z \alpha v_o^2}{H_o} + \frac{z \alpha_p v_{po}^2}{H_{po}} \end{aligned} \quad (3)$$

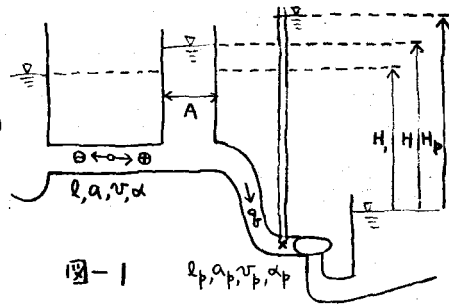


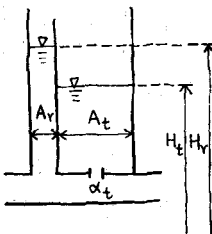
図-1

である。

3. 制水口型サージタンクを有する水理系の伝達係数

一般的な差動型サージタンクを考へる。水理系の基本式は次の通りである。(図-2)

図-2



(1)

$$\left. \begin{aligned} (l/g) \cdot (dv/dt) &= H_r - H_t + dv^2 \quad (v \geq 0) \\ q &= a v - A_r \cdot (dH_r/dt) - A_t \cdot (dH_t/dt) \\ H_r - H_t &= (A_t/a_t) \cdot (dH_t/dt) \\ q &= m \phi \sqrt{H_r}, \quad C = q \cdot H_r \end{aligned} \right\} \quad (4)$$

従つて、求め水理系の伝達率は

$$\frac{d[\Delta H_t/H_0]}{d[\Delta q/q_0]} = \left( -\left( \frac{l v_o}{g H_0} \cdot S + \frac{z d v_o^2}{H_0} \right) / \left[ \frac{A_r l}{g a} \cdot \frac{A_t}{a_t} \cdot S^3 + \left\{ \frac{(A_r + A_t) l}{g a} + \frac{z d v_o A_r}{a_t} \cdot \frac{d_t A_t}{a_t} \right\} \cdot S^2 \right. \right. \\ \left. \left. + \left\{ \frac{z d v_o (A_r + A_t)}{a_t} + \frac{d_t A_t}{a_t} \right\} \cdot S + 1 \right] \right) \quad (5)$$

$$\frac{d[\Delta H_r/H_0]}{d[\Delta q/q_0]} = \left( -\left( \frac{l v_o}{g H_0} \cdot \frac{d_t A_t}{a_t} \cdot S^2 + \left( \frac{l v_o}{g H_0} + \frac{z d v_o^2}{H_0} \cdot \frac{d_t A_t}{a_t} \right) \cdot S + \frac{z d v_o^2}{H_0} \right) / \left[ \frac{A_r l}{g a} \cdot \frac{A_t}{a_t} \cdot S^3 \right. \right. \\ \left. \left. + \left\{ \frac{(A_r + A_t) l}{g a} + \frac{z d v_o A_r}{a_t} \cdot \frac{d_t A_t}{a_t} \right\} \cdot S^2 + \left\{ \frac{z d v_o (A_r + A_t)}{a_t} + \frac{d_t A_t}{a_t} \right\} \cdot S + 1 \right] \right) \quad (6)$$

$$\frac{d[\Delta C]}{d[C_0]} = \frac{\frac{A_r l}{g a} \cdot \frac{A_t}{a_t} \cdot S^3 + \left\{ \frac{(A_r + A_t) l}{g a} - \left( \frac{l v_o}{g H_0} - \frac{z d v_o A_r}{a_t} \right) \cdot \frac{d_t A_t}{a_t} \right\} \cdot S^2 - \left\{ \frac{l v_o}{g H_0} - \frac{z d v_o (A_r + A_t)}{a_t} \right\}}{\frac{A_r l}{g a} \cdot \frac{A_t}{a_t} \cdot S^3 + \left\{ \frac{(A_r + A_t) l}{g a} + \left( \frac{l v_o}{g H_0} + \frac{z d v_o A_r}{a_t} \right) \cdot \frac{d_t A_t}{a_t} \right\} \cdot S^2 + \left\{ \frac{l v_o}{g H_0} + \frac{z d v_o (A_r + A_t)}{a_t} \right\}} \\ - \left( 1 - \frac{z d v_o^2}{H_0} \right) \cdot \frac{d_t A_t}{a_t} \cdot S + 1 - \frac{z d v_o^2}{H_0} \\ + \left( 1 + \frac{z d v_o^2}{H_0} \right) \cdot \frac{d_t A_t}{a_t} \cdot S + 1 + \frac{z d v_o^2}{H_0} \quad (7)$$

である。

#### 4. 水車発電機の総合効率の影響

$$P = 9.8 \eta \cdot C, \quad \eta = \eta(C) \quad (8)$$

の形で表される。(図-3)

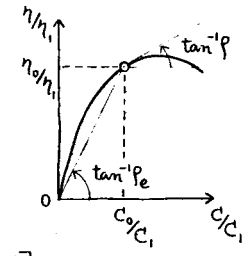


図-3

$$\frac{\Delta P}{P_0} = \frac{\Delta \eta}{\eta} + \frac{\Delta C}{C_0}, \quad \frac{\Delta \eta}{\eta_0} = \frac{P}{P_e} \cdot \frac{\Delta C}{C_0} \quad (9)$$

であるから、水車入力～発電機出力の間の伝達率は

$$\frac{d[\Delta P/P_0]}{d[\Delta C/C_0]} = 1 + \frac{P}{P_e} \quad (10)$$

である。

#### 5. 水車のブローリク線図の完全形

水車の基本式は次の通りである。Q-H特性を一般的に考える。

$$P = 9.8 \eta \cdot C, \quad C = q \cdot H, \quad q = q(n, \phi, H) \quad (11)$$

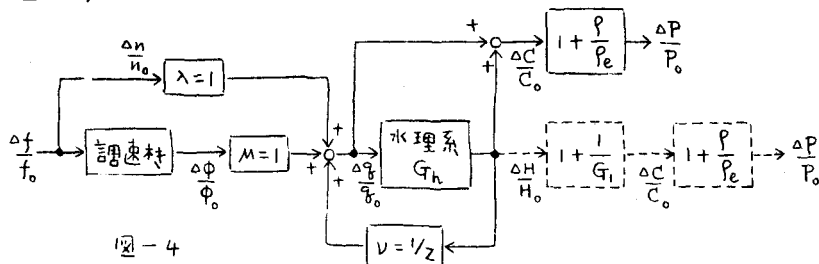
従つて、求め水車の伝達率は

(2)

$$\left. \begin{aligned} \Delta \left[ \frac{\Delta P}{P_0} \right] &= (1 + \frac{P}{P_e}) \cdot \Delta \left[ \frac{\Delta C}{C_0} \right], \quad \Delta \left[ \frac{\Delta C}{C_0} \right] = \Delta \left[ \frac{\Delta Q}{g_{f_0}} \right] + \Delta \left[ \frac{\Delta H}{H_0} \right] \\ \Delta \left[ \frac{\Delta Q}{g_{f_0}} \right] &= \left\{ \left( \frac{\partial Q}{\partial n} \right) / \left( \frac{Q}{n} \right) \right\}_0 \Delta \left[ \frac{\Delta n}{n_0} \right] + \left\{ \left( \frac{\partial Q}{\partial \phi} \right) / \left( \frac{Q}{\phi} \right) \right\}_0 \Delta \left[ \frac{\Delta \phi}{\phi_0} \right] \\ &+ \left\{ \left( \frac{\partial Q}{\partial H} \right) / \left( \frac{Q}{H} \right) \right\}_0 \Delta \left[ \frac{\Delta H}{H_0} \right] \equiv \lambda \cdot \Delta \left[ \frac{\Delta n}{n_0} \right] + M \cdot \Delta \left[ \frac{\Delta \phi}{\phi_0} \right] + V \cdot \Delta \left[ \frac{\Delta H}{H_0} \right] \end{aligned} \right\} \dots \dots \dots \quad (12)$$

$$\lambda = 1, \quad M = 1, \quad V = 1/2$$

である。(図-4)



## 6. 單独運転時の著者の公式の完全形

特性方程式を4次形で表す。

$$1 + \frac{K_m}{T_m S + 1} \frac{K_g (T_E S + 1)}{T_g S + 1} \frac{(A \ell / g A) \cdot S^2 - \left( \frac{A \ell}{g H_0} - \frac{(Z \times v_0 A / \alpha)}{g H_0} \right) S + 1}{(A \ell / g A) \cdot S^2 + \left( \frac{A \ell}{g H_0} + \frac{(Z \times v_0 A / \alpha)}{g H_0} \right) S + 1} = 0 \quad \dots \dots \dots \quad (13)$$

で、

$$\left. \begin{aligned} \frac{g A}{A \ell} \equiv W, \quad \left( \frac{A \ell v_0}{z g H_0} + \frac{Z \times v_0 A}{g A} \right) \frac{g A}{A \ell} \equiv Z_1, \quad \left( \frac{A \ell v_0}{g H_0} - \frac{Z \times v_0 A}{g A} \right) \frac{g A}{A \ell} \equiv Z_2 \\ \frac{T_m T_g}{1 + K_m K_g} \equiv T_1, \quad \frac{T_m + T_g}{1 + K_m K_g} \equiv T_2, \quad \frac{K_m K_g T_E}{1 + K_m K_g} \equiv T_3, \quad \frac{1}{1 + K_m K_g} \equiv K \end{aligned} \right\} \dots \dots \dots \quad (14)$$

とし、整理すると、(13)式は

$$T_1 S^4 + (T_2 + T_3 + T_1 Z_1) S^3 + (1 + T_2 Z_1 - T_3 Z_2 + T_1 W) S^2 + \{K \cdot (Z_1 + Z_2) - Z_2 + (T_2 + T_3) \cdot W\} S + W \equiv b_0 S^4 + b_1 S^3 + b_2 S^2 + b_3 S + b_4 = 0 \quad \dots \dots \dots \quad (15)$$

である。Hurwitzの条件式の中で、最終的に意味のあるのは、この場合

$$\frac{b_1 b_2}{z b_0} \cdot \left( 1 + \sqrt{1 - \frac{4 b_0 b_4}{b_2^2}} \right) > b_3 > \frac{b_1 b_2}{z b_0} \cdot \left( 1 - \sqrt{1 - \frac{4 b_0 b_4}{b_2^2}} \right) \dots \dots \dots \quad (16)$$

で、これが(14)式をすべて代入すると、

$$\left. \begin{aligned} \frac{1}{z} \cdot \left\{ \frac{\alpha v_0^2 g H_0}{H_0 \ell v_0} \cdot \left( z + \frac{1}{A / A_{Th}} \right) + \frac{T_m + T_g + K_m K_g \cdot T_E}{T_m T_g} \right\} \cdot \left[ \left\{ 1 / \left( z \cdot \frac{\alpha v_0^2 g H_0}{H_0 \ell v_0} \right) \right. \right. \\ \left. \left. + \frac{T_m + T_g + K_m K_g \cdot T_E}{1 + K_m K_g} \right\} \cdot \frac{A}{A_{Th}} + \frac{T_m + T_g + z T_E}{z \cdot (1 + K_m K_g)} + \frac{T_m \cdot T_g}{1 + K_m K_g} \cdot \frac{g H_0}{\ell v_0} - T_E \right] \end{aligned} \right\} \quad (3)$$

である。特に、語速等の電気本底系の屋内を考えないと、(17)式は

であるから、著名な Thomas の条件は、±3% に

二十七之三九三。

(17)式は一般公式であるから、サージタンクの安定に関する未解決の問題(Scimemi の試験, Ghetti の実験等)の多くを説明できる。

## 7. 並列運転時の著者の公式の完全形

並列車転時のブロック線図を図-5のように考える。特性方程式は次の通りである。

$$1 + \frac{K_m''(T_g S + 1)}{T_m'' S + 1} \cdot \frac{K_g(T_E S + 1)}{T_g S + 1} \cdot \frac{(A\ell/\beta a) \cdot S^2 - \{(A\ell\tau_0/\beta g H_0) - (2\alpha\tau_0 A/a)\} \cdot S + 1}{(A\ell/\beta a) \cdot S^2 + \{(A\ell\tau_0/\beta g H_0) + (2\alpha\tau_0 A/a)\} \cdot S + 1} = 0 \quad \dots (2c)$$

2 > 7"  $\frac{1}{4}$ " -

$$\left. \begin{aligned} \frac{T_m' + T_g}{1 + K_m'' K_g} &\equiv T_1' \\ \frac{T_m'' + T_g}{1 + K_m'' K_g} &\equiv T_2' \\ \frac{K_m'' K_g \cdot (T_g' + T_E)}{1 + K_m'' K_g} &\equiv T_3' \\ \frac{K_m'' K_g \cdot T_g' - T_E}{1 + K_m'' K_g} &\equiv T_4' \\ 1 / (1 + K_m'' K_g) &\equiv K' \end{aligned} \right\} \dots \dots \dots (ZI)$$

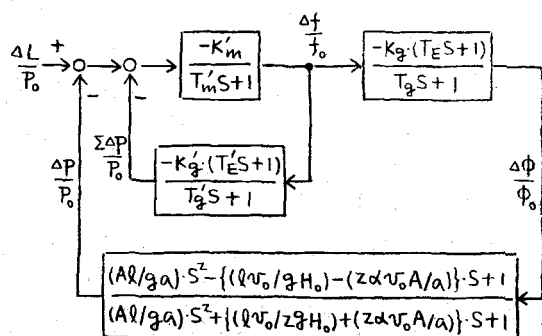


圖-5

として整理すると、(20)式は

$$(T_1' + T_4') \cdot S^4 + (T_2' + T_3' + T_1' Z_1 - T_4' Z_2) \cdot S^3 + \{I + T_2' Z_1 - T_3' Z_2 + (T_1' + T_4') \cdot W\} \cdot S^2 \\ + \{K'(Z_1 + Z_2) - Z_2 + (T_2' + T_3') \cdot W\} \cdot S + W \equiv b_0 S^4 + b_1 S^3 + b_2 S^2 + b_3 S + b_4 = 0 \quad \dots \dots \dots (22)$$

である。従つて、サージタンクの安定式<sup>制則</sup>は(16)式と全く同じ形になる。(17)式に対応する公式は省略。特に、電気機械系の屋内を考へないと、(22)式は

であるから、著名な Calame - Gaden の条件は、さうい

とて之をやる。R: 調定率。

## 8. 揚水軍艦時のサージタンクの安定

先づ、ポンフ<sup>0</sup>の伝達函数を求める。ポンフ<sup>0</sup>の基本式は次の通りである。

従つて、ポンフ<sup>°</sup>の伝率函数は

$$\left. \begin{aligned} \mathcal{L}\left[\frac{\Delta P}{P_0}\right] &= \mathcal{L}\left[\frac{\Delta q_f}{q_{f_0}}\right] + \mathcal{L}\left[\frac{\Delta H}{H_0}\right] - \mathcal{L}\left[\frac{\Delta \eta}{\eta_0}\right] \\ \mathcal{L}\left[\frac{\Delta q_f}{q_{f_0}}\right] &= \lambda \cdot \mathcal{L}\left[\frac{\Delta n}{n_0}\right] + \mu \cdot \mathcal{L}\left[\frac{\Delta \phi}{\phi_0}\right] + \nu \cdot \mathcal{L}\left[\frac{\Delta H}{H_0}\right] \\ \lambda \equiv \left\{ \left( \frac{\partial q_f}{\partial n} \right) / \left( \frac{q_f}{n} \right) \right\}_0 &= 1, \quad \mu \equiv \left\{ \left( \frac{\partial q_f}{\partial \phi} \right) / \left( \frac{q_f}{\phi} \right) \right\}_0, \quad \nu \equiv \left\{ \left( \frac{\partial q_f}{\partial H} \right) / \left( \frac{q_f}{H} \right) \right\}_0 \\ \mathcal{L}\left[\frac{\Delta \eta}{\eta_0}\right] &= \gamma \cdot \mathcal{L}\left[\frac{\Delta n}{n_0}\right] + \delta \cdot \mathcal{L}\left[\frac{\Delta q_f}{q_{f_0}}\right] + \varepsilon \cdot \mathcal{L}\left[\frac{\Delta H}{H_0}\right] = \delta \cdot \mathcal{L}\left[\frac{\Delta q_f}{q_{f_0}}\right] + \varepsilon \cdot \mathcal{L}\left[\frac{\Delta H}{H_0}\right] \\ \gamma \equiv \left\{ \left( \frac{\partial \eta}{\partial n} \right) / \left( \frac{\eta}{n} \right) \right\}_0, \quad \delta \equiv \left\{ \left( \frac{\partial \eta}{\partial q_f} \right) / \left( \frac{\eta}{q_f} \right) \right\}_0, \quad \varepsilon \equiv \left\{ \left( \frac{\partial \eta}{\partial H} \right) / \left( \frac{\eta}{H} \right) \right\}_0 \end{aligned} \right\} \dots \dots \dots (26)$$

である。(図-6)

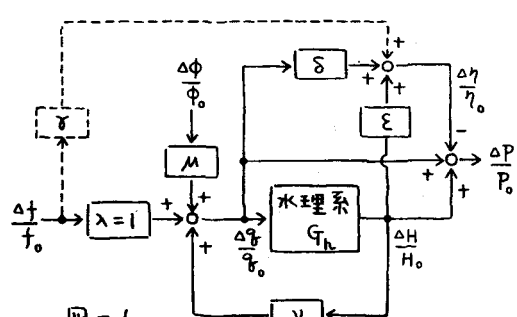
次に、水理系を考えたポンプの伝達函数を求める。水理系の伝達函数は

$$\frac{d[\Delta H/H_0]}{d[\Delta \gamma/\gamma_0]} = \left( \frac{\ell \nu_0}{gH_0} \cdot S + \frac{z \Delta \nu_0^2}{H_0} \right) / \left( \frac{\Delta L}{g\alpha} \cdot S^2 \right)$$

であるから、水理系およびポンプの伝達  
参数は

$$\frac{d[\Delta P/P_0]}{d[\Delta t/t_0]} = \frac{1-\delta + (1-\varepsilon) \cdot G_h}{1 - \nu \cdot G_h}$$

$$= \left\{ \frac{A L}{g a} \cdot S^2 + \left( \frac{1-\varepsilon}{1-\delta} \cdot \frac{g V_0}{g H} + \frac{2 d V_0 A}{a} \right) \cdot S \right\}$$



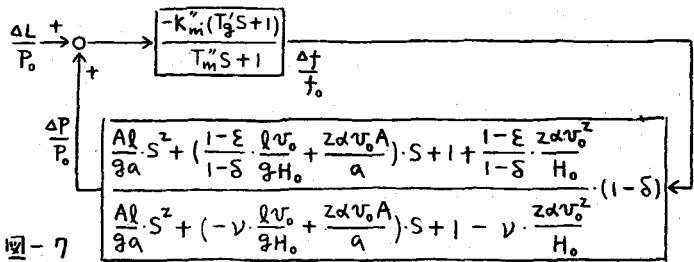
四

$$+ 1 + \frac{1-\varepsilon}{1-\delta} \cdot \frac{z \alpha v_0^z}{H_0} \} /$$

$$\left\{ \frac{A\ell}{g_a} \cdot S + (-v \cdot \frac{\ell v_0}{g H_0}) \right.$$

$$+ \frac{z\alpha v_0 A}{A}) \cdot S + 1$$

$$= \nu \cdot \frac{z \alpha v_0^2}{H_0} \quad \dots \dots (28)$$



である

揚水率転時のプロット線図を図-7のように考える。特性方程式は次の通りである。

二〇二

$$\left. \begin{aligned} & \left( 1 - \nu \cdot \frac{z \alpha v_o^2}{H_0} \right) \cdot \frac{g a}{A l} \equiv w_1, \quad \left\{ 1 - \delta + (1 - \varepsilon) \cdot \frac{z \alpha v_o^2}{H_0} \right\} \cdot \frac{g a}{A l} \equiv w_2 \\ & \left( -\nu \cdot \frac{g v_o}{g H_0} + \frac{z \alpha v_o A}{a} \right) \cdot \frac{g a}{A l} \equiv z'_1, \quad \left\{ (1 - \varepsilon) \cdot \frac{g v_o}{g H_0} + (1 - \delta) \cdot \frac{z \alpha v_o A}{a} \right\} \cdot \frac{g a}{A l} \equiv z'_2 \end{aligned} \right\} \dots \dots \dots \quad (30)$$

として整理すると、(29)式は

$$\{T_5 + T_6 \cdot (1-\delta)\} \cdot S^3 + \{1 - (1-k_1) \cdot \delta + T_5 \cdot Z'_1 + T_6 \cdot Z'_2\} \cdot S^2 + \{k_1 \cdot Z'_1 + (1-k_1) \cdot Z'_2 + T_5 \cdot w_1 + T_6 \cdot w_2\} \cdot S + k_1 \cdot w_1 + (1-k_1) \cdot w_2 = b_0 S^3 + b_1 S^2 + b_2 S + b_4 = 0 \quad \dots \dots \dots \dots \dots \dots \quad (31)$$

である。一般に、揚水ポンプの特性は、使用範囲において

であるから、Hurwitz の条件式はすべて満たされている。もし、 $V > 0$  の場合は

が、サージタンクの安定条件となる。

## 9. カフラン水車の場合の安定

先づ、カプロラン水車の伝達係数を求める。カプロラン水車の基本式は次の通りである。

$$T_R \cdot (\Delta S_R / dt) + \Delta S_R = K_R \cdot (S_{R_0} / S_{G_0}) \cdot \Delta S_G$$

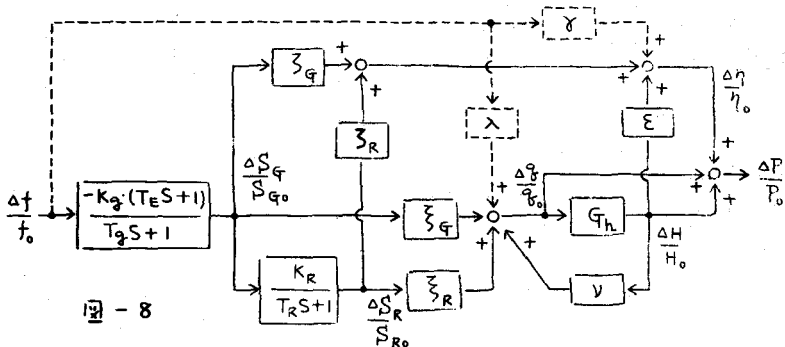
従つて、カフラン水車の伝率函数は

$$\Delta \left[ \frac{\Delta P}{P_0} \right] = \Delta \left[ \frac{\Delta g}{g_0} \right] + \Delta \left[ \frac{\Delta H}{H_0} \right] + \Delta \left[ \frac{\Delta \eta}{\eta_0} \right]$$

$$\left. \begin{aligned} \Delta \left[ \frac{\Delta \eta}{\eta_0} \right] &= \lambda \cdot \Delta \left[ \frac{\Delta n}{n_0} \right] + \xi_Q \cdot \Delta \left[ \frac{\Delta S_Q}{S_{Q0}} \right] + \xi_R \cdot \Delta \left[ \frac{\Delta S_R}{S_{R0}} \right] + V \cdot \Delta \left[ \frac{\Delta H}{H_0} \right] \\ &\quad + \xi_Q \cdot \Delta \left[ \frac{\Delta P}{P_0} \right] + \xi_R \cdot \Delta \left[ \frac{\Delta P}{P_0} \right] + V \cdot \Delta \left[ \frac{\Delta H}{H_0} \right] \\ \lambda &\equiv \left\{ \left( \frac{\partial \eta}{\partial n} \right) \right\}_0 = 1, \quad \xi_Q \equiv \left\{ \left( \frac{\partial \eta}{\partial S_Q} \right) \right\}_0, \quad \xi_R \equiv \left\{ \left( \frac{\partial \eta}{\partial S_R} \right) \right\}_0 \\ \Delta \left[ \frac{\Delta \eta}{\eta_0} \right] &= \gamma \cdot \Delta \left[ \frac{\Delta n}{n_0} \right] + \zeta_Q \cdot \Delta \left[ \frac{\Delta S_Q}{S_{Q0}} \right] + \zeta_R \cdot \Delta \left[ \frac{\Delta S_R}{S_{R0}} \right] + \varepsilon \cdot \Delta \left[ \frac{\Delta H}{H_0} \right] \\ &\quad + \zeta_Q \cdot \Delta \left[ \frac{\Delta P}{P_0} \right] + \zeta_R \cdot \Delta \left[ \frac{\Delta P}{P_0} \right] + \varepsilon \cdot \Delta \left[ \frac{\Delta H}{H_0} \right] \\ \zeta_Q &\equiv \left\{ \left( \frac{\partial \eta}{\partial S_Q} \right) \right\}_0, \quad \zeta_R \equiv \left\{ \left( \frac{\partial \eta}{\partial S_R} \right) \right\}_0 \end{aligned} \right\} \quad \dots \dots \dots (35)$$

$$\frac{\Delta [S_R / S_{R0}]}{\Delta [S_Q / S_{Q0}]} = \frac{K_R}{T_R S + 1} \equiv G_R$$

である。(図-8)



次に、水理系を考えたカーボラン水車の伝達函数を求める。水理系の伝達函数は

$$\frac{\Delta H / H_0}{\Delta \eta / \eta_0} = -\left( \frac{\rho v_0}{g H_0} \cdot S + \frac{2 \rho v_0^2}{H_0} \right) / \left( \frac{A l \cdot S^2}{g a} + \frac{2 \rho v_0 A}{a} \cdot S + 1 \right) \equiv G_h \quad \dots \dots \dots (36)$$

であるから、水理系および水車の伝達函数は

$$\frac{\Delta P / P_0}{\Delta [S_Q / S_{Q0}]} = (\zeta_Q + \zeta_R + (\xi_R + \xi_Q) \cdot G_h + [(1 + \varepsilon) \cdot \xi_Q - V \cdot \zeta_Q + (1 + \varepsilon) \cdot \xi_R - V \cdot \zeta_R] \cdot G_h) / (1 - V \cdot G_h) \quad \dots \dots \dots (37)$$

である。

以下、6. および 7. と同様に特性方程式を求め、Hurwitz の条件式を立てれば、単独運転時および並列運転時の一応定条件を導くことができる。(省略)

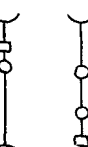
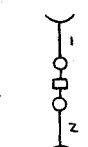
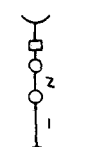
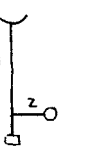
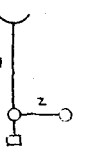
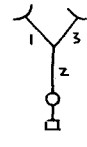
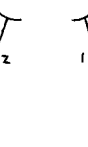
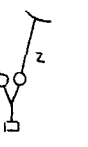
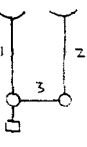
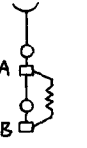
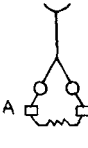
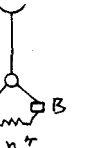
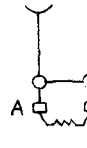
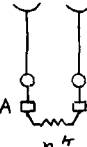
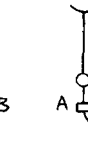
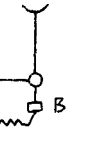
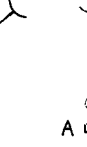
## 10. 単独、並列、揚水およびAFC 運転時的一般公式<sup>2)</sup>

(7)

11. 複雑な水路系の安定<sup>2)</sup>

表-1に示すような色々な水路系を考える。

表-1

水車発電機がある場合	貯水池が1つある場合						
同上が2つある場合	同上が2つある場合						
同上が2つ以上ある場合	貯水池が1つある場合						
同上が2つ以上ある場合	同上が2つ以上ある場合						
以上の型の複合型							

12. サージタンクの振動特性を改良する諸方法<sup>3)</sup>

13. サージタンクの過渡特性および周波数特性<sup>2)</sup>

14. あとがき

本研究に当たり種々御教示を賜った中央大学理工学部林泰造教授に感謝致します  
 [参考文献] 1) 発電水力(No.65~69), 応用力学連合講演会論文抄録集(第13~14回)および同英文版, 土木学会年次学術講演会論文概要(第19回), 2) 詳細は土木学会第20回年次学術講演会において発表予定, 3) 詳細は第9回水理講演会において発表予定